

# بررسی حساسیت لرزه‌یی ساختمان‌های بتُنی قالب‌تونلی به خروج از مرکزیت جرم در پلان

وحید محسسیان (کارشناس ارشد)

سهیل رستمکلاابی (کارشناس ارشد)

دانشکده‌ی مهندسی عمران، دانشگاه علم و فرهنگ

عبدالرضا سروقدققدم\* (دانشجو)

پژوهشگاه پژوهش‌های مهندسی زلزله

سید بهرام بهشتی اول (دانشجو)

دانشکده‌ی مهندسی عمران، دانشگاه صنعتی خواجه نصیرالدین طوسی

بررسی‌ها درخصوص سیستم قالب‌تونلی، حاکی از تقدم مدهای پیچشی بر مدهای انتقالی در بسیاری از ساختمان‌های متداول با سیستم مذکور است. این ویژگی مختص ساختمان‌های نرم پیچشی است، که در آنها غالباً خروج از مرکزیت جرم، سختی و مؤلفه‌ی ساختمان‌های نرم سبب افزایش پاسخ‌های نیرویی و تغییرمکانی می‌شود. در مطالعه‌ی حاضر، حساسیت لرزه‌یی ساختمان‌های قالب‌تونلی  $5^{\circ}$  و  $10^{\circ}$  طبقه به توزیع نامتناصرن جرم در پلان ارزیابی و به ازاء خروج از مرکزیت‌های مختلف جرم، سطح عملکرد ساختمان‌های مذکور در زلزله‌ی طرح به روش تحلیل تاریخچه‌ی زمانی و بازارفرون تعیین شده است. برآورد نسبت بسامد‌های غیرهمبسته و ارائه‌ی منحنی‌های شکننده‌ی به کمک تحلیل دینامیکی افزایشی از دیگر دستاوردهای پژوهش حاضر است. نتایج به دست آمده بیان‌گر ظرفیت زیاد و عملکرد لرزه‌یی مناسب ساختمان‌های ذکر شده تحت پیچش ناشی از توزیع نامتناصرن جرم است. به گونه‌یی که ساختمان‌ها به ازاء خروج از مرکزیت‌های مختلف جرم، در زلزله‌ی طرح در سطح عملکردی قابلیت استفاده‌ی بی‌وقنه قرار گرفتند.

mohsenian.vahid@gmail.com  
soheil.rostamkalaee@gmail.com  
mog.hadam@iiees.ac.ir  
beheshti@kntu.ac.ir

وازگان کلیدی: سیستم قالب‌تونلی، خروج از مرکزیت جرم، پیچش سازه، منحنی شکننده‌یی، نسبت بسامد‌های غیرهمبسته.

## ۱. مقدمه

در بسیاری موارد، علی‌رغم منظم‌بودن ساختمان‌های قالب‌تونلی در پلان و ارتفاع و نیز تقارن کامل در جیدمان دیوارها و بارگذاری، مدد اول آنها پیچشی گزارش شده است. ملاحظات اجرایی و لزوم خروج قالب‌ها باعث می‌شود که در بخش عمده‌یی از اضلاع خارجی، دیوارهای ساختمانی وجود نداشته باشند و به همین دلیل، در ساختمان‌های قالب‌تونلی معمولاً سختی پیچشی از سختی جانبی کمتر است.<sup>[۱]</sup> رفتار پیچشی غالب در مدد اول از خصوصیات بارز ساختمان‌های نرم است. این قبیل ساختمان‌ها به خروج از مرکزیت جرم نسبت به سختی و زلزله‌ی روودی حساس‌ترند.<sup>[۲]</sup>

علی‌رغم کاربرد گسترده، متأسفانه درخصوص طراحی این نوع سیستم سازه‌یی، آین نامه‌ی مدونی وجود ندارد. مطالعات انجام شده بر روی ساختمان‌های قالب‌تونلی اگر چه ارزشمند، ولی محدود است.

طی مطالعاتی در سال ۱۹۹۸، بانک اطلاعاتی به دست آمده از زلزله‌های متعدد کالیفرنیا با نتایج به دست آمده از روابط پیشنهادی آین نامه‌ها مقایسه و مشخص

در سیستم ساختمانی قالب‌تونلی، فقط از المان‌های دال و دیوار به عنوان عناصر باربر قائم و جانسی استفاده می‌شود، که به صورت هم‌زنان بتن‌ریزی می‌شوند. این نحوه اجراء، ضمن بالا بردن سرعت و کیفیت ساخت، رفتار لرزه‌یی مجموعه‌ی ساختمان را از نظر پکارچگانی اعضا و اتصالات آنها نیز به نحو چشمگیری بهبود می‌بخشد. عملت نام‌گذاری «قالب‌تونلی»، به دلیل نحوه اجرای این نوع سیستم است، که مطابق شکل ۱ قالب‌های فلزی دیوارها و سقف ضمن اجرا به صورت جعبه‌های توخالی هستند و از این جهت آن را «سیستم جعبه‌یی» نیز می‌نامند.<sup>[۳]</sup>

طی دو زلزله‌ی کوچالی ( $M_w = 7,4$ ) و دوزجه ( $M_w = 7,2$ ) در سال ۱۹۹۹ در ترکیه، مقاومت و کارایی مناسب ساختمان‌های بتن‌آرمه با دیوار برشی، که با روش قالب‌تونلی ساخته شده بودند، نشان داده شده و بررسی‌ها معلوم کرده است که عملکرد لرزه‌یی سیستم ساختمانی ذکر شده در مقایسه با سیستم‌های قاب خمشی بتُنی و یا قاب خمشی همراه دیوار برشی بهتر بوده است.<sup>[۴]</sup>

\* نویسنده مسئول  
تاریخ: دریافت ۱۲/۹/۱۳۹۳، اصلاحیه ۹/۷، پذیرش ۱۳۹۴/۱۲/۸



شکل ۱. قالب‌بندی ساختمان بتونی قالب‌تونی.

آرماتور طولی مختلف، تحلیل‌هایی در دو جهت اصلی انجام و مشخص شده است که افزودن آرماتورهای طولی متراکم در گوشه‌ی دیوارها، اثر مشبتش در رفتار آنها دارد و می‌تواند مدد خرابی آنها را در درصد کم آرماتور نیز از حالت ترد خارج کند.<sup>[۱۰]</sup><sup>[۱۱]</sup> مطالعاتی بر روی چند ساختمان قالب‌تونی با پلان‌ها و ارتفاع‌های مختلف انجام و معلوم شده است که دوره‌ی تناوب اصلی در هر جهت مستقیماً به ارتفاع کلی ساختمان وابسته است و نسبت ابعاد سازه و درصد دیوارها تأثیر زیادی در آن ندارد.<sup>[۱۲]</sup> به علاوه، ترتیب سه مد اول ساختمان‌ها مستقل از ارتفاع کلی و درصد دیوارها در پلان بوده است. به منظور درک بهتر رفتار لرزه‌ی سازه‌های قالب‌تونی در محدوده‌ی غیرخطی، مطالعاتی تجربی بر روی دو نمونه ساخته شده با مقیاس ۱ به ۵ انجام شده است. نتایج آزمایش‌های بارگذاری رفت و برگشتی روی نمونه‌ها حکایت از رفتار ترد آنها داشته و طی آن، خرابی‌هایی در دال‌ها به صورت برش منکره‌یی و در اتصال‌های دال به دیوار و دیوار به شالولد مشاهده شده است. بعد از انجام آزمایش ارتعاش اجباری روی نمونه‌ها معلوم شده است که ترک خوردگی دال‌ها نقش مؤثری در تغییر زمان تناوب مد ارتعاشی اول نوسانی سازه دارد و ضرایب ترک خوردگی موجود در مبحث ششم مقرات ملی ساختمان، تقریب مناسبی برای برآورد زمان تناوب نمونه‌ها نتیجه می‌شود. در ادامه، نتایج مدل‌سازی عددی و تحلیل رایانه‌یی نمونه‌ها با نتایج بدست آمده از آزمایش‌ها مقایسه شده و نتایج برابر خوبی داشته است.<sup>[۱۳]</sup> همچنین طی یک سری مطالعات تحلیلی، برای محاسبه‌ی ضریب رفتار ATC-6۳ استفاده شده و نتایج نشان داده است که ضریب رفتار ۴ برای ساختمان‌های قالب‌تونی، انتخاب مناسبی است. ضمن این مطالعات، محققان نتایج از خوبی و شکست قابل‌تونی‌ها، مطالعات عددی و تجربی بیشتری را لازم دانسته‌اند.<sup>[۱۴]</sup> مطالعاتی نیز بر روی دو ساختمان قالب‌تونی ۵ و ۱۰ طبقه‌ی اجرشده در ایران انجام شده و نتایج بدست آمده نشان داده است که سیستم به کاررفته در دو ساختمان مذکور، با توجه به جزئیات خاص مورد استفاده، اضافه مقاومت قابل توجه و در عین حال شکل‌پذیری مناسبی داشته و روند به کاررفته در طراحی دو ساختمان ذکر شده، قابلیت عملکردی مناسبی را در آنها ایجاد کرده است. جهت نتیجه‌گیری عمومی درخصوص ضریب رفتار از نظر محققان بررسی‌های انجام شده کافی نبوده و به لزوم مطالعات بیشتر در این زمینه تأکید شده است.<sup>[۱۵]</sup>

ضمن مطالعه‌ی در سال ۲۰۱۲، به بررسی تأثیر پدیده‌ی اندرکنش خاک و سازه بر مشخصات دینامیکی ساختمان‌های قالب‌تونی با پلان‌ها و ارتفاعات مختلف پرداخته شده است. خاک به کمک فترهایی به صورت خطی مدل شده و تحلیل‌ها در دو حالت با و بدون اندرکنش خاک و سازه، بر روی مدل‌های سه‌بعدی صورت گرفته است. در ادامه، براساس نتایج تحلیل‌های انجام شده، روابطی برای تخمین دوره‌ی تناوب اصلی ساختمان‌های قالب‌تونی با احتساب پدیده‌ی اندرکنش خاک و سازه پیشنهاد شده است.<sup>[۱۶]</sup>

مرور ادبیات فنی و مطالعات پیشین حاکی از آن است که تاکنون مطالعات تجربی و عددی به منظور بررسی تأثیر ایجاد نامنظمی در پلان در رفتار لرزه‌یی ساختمان‌های ساخته شده با شیوه‌ی قالب‌تونی صورت نپذیرفته است. با توجه به ضوابط موجود در زمینه‌ی طرح و اجرای سیستم نامبرده،<sup>[۱۷]</sup> به نظر می‌رسد که در زمان بهره‌برداری، نامنظمی جرمی محتمل ترین نوع نامنظمی برای ساختمان‌های ساخته شده با شیوه‌ی مذکور است. بر این اساس، در مطالعه‌ی حاضر، با درنظرگرفتن توزیع غیریکنواخت جرم در پلان و در نتیجه اعمال خروج از مرکزیت‌های مختلف جرم بر ساختمان‌های طراحی شده براساس آینین نامه‌های طراحی و بارگذاری موجود، رفتار این سیستم با استفاده از تحلیل‌های تاریخچه‌ی زمانی و بارافزون، در محدوده‌ی

شده است که استفاده از روابط مذکور برای محاسبه‌ی زمان تناوب ساختمان‌های قالب‌تونی، منجر به نتایج دقیقی نمی‌شود و این موضوع سبب تخمین نامناسب نیروهای زلزله خواهد شد.<sup>[۱۸]</sup> در مطالعات دیگری (۲۰۰۰) به منظور اندازه‌گیری زمان تناوب ساختمان‌های پانلی، زمان تناوب ساختمان‌های مختلف محیطی اندازه‌گیری شده است. ضمن بررسی معادلات زمان تناوب در آینین نامه‌های کره‌ی جنوبی، ژاپن، استرالیا و UBC مشخص شده است که معادلات تجربی زمان تناوب در تمامی آینین نامه‌های ذکر شده نامناسب بوده و مقدار زمان تناوب ساختمان‌ها با استفاده از معادلات مذکور بسیار کمتر یا بیشتر از مقدار واقعی برآورده شده است.<sup>[۱۹]</sup> در مطالعاتی بر روی ۸۰ ساختمان قالب‌تونی با تعداد طبقات و پلان‌های مختلف، در بسیاری از موارد مدهای پیچشی بر مدهای انتقالی مقدم بوده است. ضمن این مطالعات، رابطه‌ی برای محاسبه‌ی زمان تناوب ساختمان‌های قالب‌تونی، در شرایطی که تعداد طبقات کمتر از ۱۵ باشد، پیشنهاد شده است.<sup>[۲۰]</sup> با توجه به پیچیدگی و محدودیت کاربرد رابطه‌ی مذکور، طی مطالعاتی (۲۰۰۴)، معادله‌ی جدیدی مستقل از جهت برای تخمین زمان تناوب اصلی ساختمان‌های قالب‌تونی ارائه شده و شایان ذکر است که در این مطالعات نیز در بسیاری از مدل‌های مورد بررسی، مدل پیچشی مدل غالب بوده است.<sup>[۲۱]</sup> در نمونه ساختمان قالب‌تونی ۲ و ۵ طبقه با پلان مشترک نیز در سال‌های ۲۰۰۴ و ۲۰۰۵ مطالعه شده و به صورت دو بعدی و سه بعدی تحت تحلیل بارافزون قرار گرفته‌اند. هر دو ساختمان در سطح عملکرد قابلیت استفاده‌ی بی‌وقفه به سطح خطر طراحی آینین نامه‌ی ترکیه پاسخ داده و مشخص شده است که رفتار حاکم در سیستم ساختمانی مذکور به صورت غشایی بوده و عملکرد کششی - فشاری همبسته‌ی دیوارها در سه بعد، نقشی مهم در باربری ساختمان‌های ساخته شده با شیوه‌ی ذکر شده ایفا می‌کند. درنهایت، برای ساختمان کوتاه‌تر ضریب رفتار ۵ و برای ساختمان بلندتر ضریب رفتار ۴ پیشنهاد شده است.<sup>[۲۲]</sup> به منظور بررسی رفتار سه بعدی سیستم دیوارهای مستقاطع، آزمایش‌هایی بر روی نمونه‌هایی با آرماتورهای مسلح کننده‌ی کمینه انجام شده و نمونه‌ها در هر دو جهت اصلی، تحت بارگذاری جانبی شبه استاتیکی چرخه‌یی قرار گرفته است. با توجه به درصد کم آرماتورهای طولی، مدد خرابی نمونه‌ها به صورت ترد گزارش شده است. با استناد به نتایج آزمایش‌های انجام شده، با کمک نرم‌افزار بر روی نمونه‌هایی با درصد

مقادیر بارهای مرده و زنده اعمال شده بر ساختمان‌ها مطابق جدول ۱ است. لازم به ذکر است، از قابلیت نرم‌افزار استفاده شده و با معروفی وزن مخصوص بتن مسلح برابر  $250\text{ kN/m}^2$  برای هر مترا مکعب، وظیفه محاسبه وزن دیوارهای سازه‌یی به خود نرم‌افزار محو شده است.

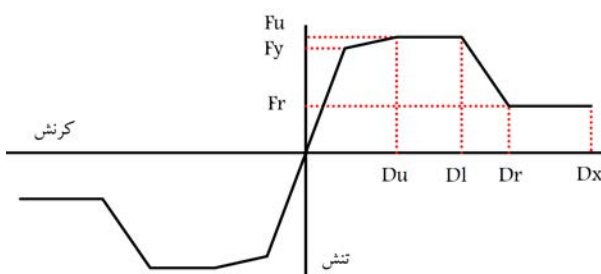
تعییرشکل‌های غیرخطی ارزیابی و سطح عملکردی ساختمان‌ها پس از تغییر توزیع جرم در طبقات، به ازاء زلزله‌ی طرح تعیین و پاسخ‌های لرزه‌بی مرتبه برداشت شده است. برآورد نسبت بسامد‌های غیرهمبسته و استخراج منحنی‌های شکستنگی به کمک تحلیل دینامیکی افزایشی برای مدل‌های مورد بررسی نیز از دیگر دستاوردهای پژوهش حاضر است.

### ۳. مدل‌سازی رفتار غیرخطی، تعیین پارامترهای مقاومتی و تعییرشکلی المان‌ها

برای مدل‌سازی و تحلیل غیرخطی ساختمان‌های مورد مطالعه از نرم‌افزار PERFORM\_3D (version ۴.۰.۲) [۲۱]، استفاده شده است. با توجه به اینکه بیشتر دیوارهای موجود در پلان ساختمان‌های مورد مطالعه، طویل بوده و تلاش برای برآورده کردن کمینه‌های گزارش ابلاغی مرکز تحقیقات ساختمان و مسکن، [۱۵] در تأثیر درصد دیوارها در پلان و به دنبال آن انتخاب ضخامت مناسب برای آنها، منجر به حاکم شدن کمینه‌ی ضوابط آینین نامه‌ی طراحی برای برش در مقاطع المان‌ها شده است و اینکه پیچش ناشی از نامنظمی، می‌تواند سبب تشیدی تلاش‌های بررسی شود، برش به عنوان پارامتر کنترل شونده توسط تعییرشکل در بیشتر دیوارها و تمام تیرهای رابط بین شان لحظ شده است. بدین ترتیب مطابق شکل‌های ۳ و ۴، برای دیوارها (جز تعدادی محدود که به صورت خمش - کنترل در نظر گرفته شده‌اند) و تیرهای رابط، رفتار برشی غیرخطی و رفتار خمشی خطی تعریف شده است. معیارهایی که برای بیان شکل‌پذیری المان‌های ساختمان به کار می‌روند، بسته به رفتار آنها متفاوت است. برای دیوارها و تیرهای رابط برش - کنترل که شکل‌پذیری از طریق گسیختگی برشی ایجاد می‌شود، به ترتیب تعییرمکان جانبی نسبی و چرخش وتری به عنوان معیار انتخاب می‌شود. [۲۲] در مطالعه‌ی حاضر، برای مدل‌سازی رفتار برشی غیرخطی المان‌ها مطابق توصیه‌های ASCE ۴۱-۰۶ [۲۳] مقاومت برشی اسمی مقطع المان به عنوان مقاومت نهایی لحظ شده است. لازم به ذکر است که برآورده مقاومت برشی اسمی تیرهای رابط از روابط مربوط به تیرهای عمیق استفاده شده است. مدل‌سازی دیوارها و تیرهای رابط در نرم‌افزار با کمک المان «دیوار برشی» انجام شده است. رفتار برونشفحه‌ی کشسان برای دیوارها، دیافراگم صلب برای سقف‌ها، اتصالات گیردار بای دیوارها، عدم بلندشدنگی بی و صرف نظر از لغزش آرما‌تورها در بن، از دیگر فرضیات پژوهش حاضر هستند.

جدول ۱. مقادیر بارهای مرده و زنده در نظر گرفته شده برای طراحی اولیه.

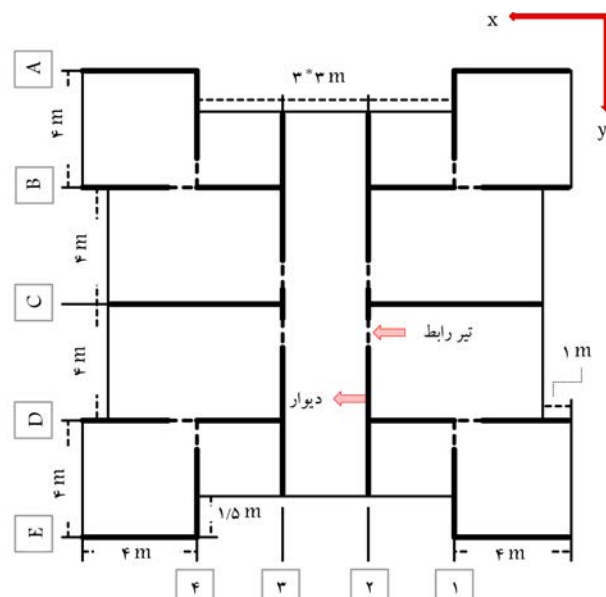
| بام | طبقات | بار ( $\text{kg/m}^2$ ) |
|-----|-------|-------------------------|
| ۶۴۰ | ۶۴۰   | بار مرده                |
| ۱۵۰ | ۲۰۰   | بار زنده                |



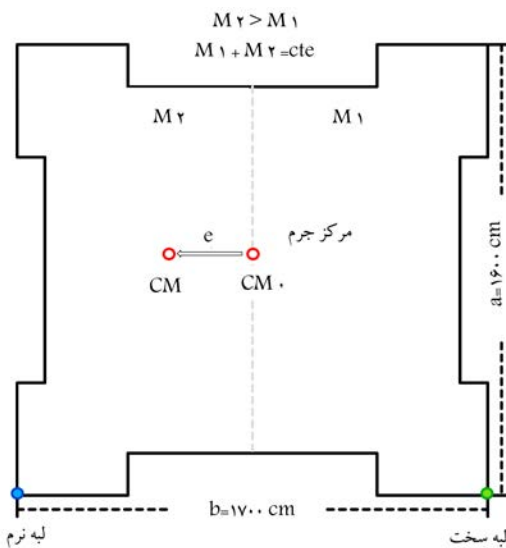
شکل ۳. رفتار برشی غیرخطی تعریف شده در نرم‌افزار. [۲۵]

### ۲. مشخصات مدل‌های مورد مطالعه

برای مطالعه‌ی حاضر از پلان با سیستم قالب‌تونلی ارائه شده در شکل ۲ استفاده شده است. [۱۶] مطابق این شکل، پلان انتخابی منظم و نسبت به هر دو جهت اصلی متقارن است. خط‌چین‌های موجود در پلان معرف تیرهای رابط بالای بازشو هاست، که طول و ارتفاع شان به ترتیب ۱ و  $7\text{ m}$  متر است. به منظور بررسی اثر ارتفاع در رفتار ساختمان‌هایی با پلان ارائه شده و تعداد طبقات ۵ و ۱۰ مدل شده است. کاربری ساختمان‌هایی مذکور، مسکونی و موقعيت‌شان در پنهانی لرزه‌خیز تهران فرض شده است. ارتفاع طبقات ۳ مترو خاک منطقه براساس طبقه‌بندی آینین نامه‌ی زلزله‌ی ایران (استاندارد ۲۸۰۰)، [۱۷] تیپ II در نظر گرفته شده است. ساختمان‌های مورد مطالعه، ابتدا براساس آینین نامه‌ی بتن آمریکا، [۱۸] با استفاده از نرم‌افزار (version ۹.۵.۰) ETABS [۱۹] فقط در حالت بدون خروج از مرکزیت جرم (مدل مینا) طراحی و تمامی الزامات طراحی ارائه شده در خصوص قالب‌تونلی‌ها [۲۰] نیز رعایت شده است. لازم به ذکر است که مقدار ضریب رفتار برای طراحی اولیه‌ی ساختمان‌ها، براساس مقدار معمول، که توسط طراحان برای سیستم قالب‌تونلی استفاده می‌شود، ۵ انتخاب شده است. درنهایت، ضخامت کلیه دیوارها  $20\text{ cm}$  سانتی‌متر و آرماتورگذاری قائم و عرضی آنها به صورت دو لایه لحظ شده است. برای تیرهای رابط، به منظور تأمین شکل‌پذیری و افزایش مقاومت برشی، آرماتورهای قطری نیز طراحی شده است. [۲۱] ضخامت دال‌ها  $15\text{ cm}$  سانتی‌متر و در طراحی اعضاء سازه‌یی، مقاومت فشاری مشخصه بتن مصرفی،  $25\text{ MPa}$  پاسکال و مقاومت تسیلیم میلگرد‌های مصرفی نیز  $40\text{ MPa}$  مگاپاسکال در نظر گرفته شده است.



شکل ۲. پلان ساختمان‌های قالب‌تونلی مورد مطالعه.



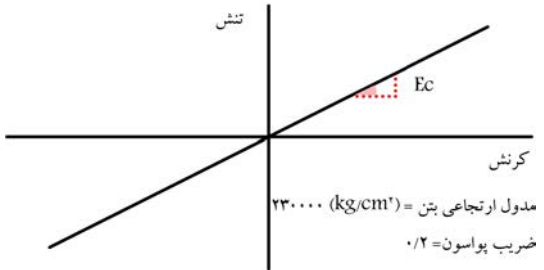
شکل ۵. جابه‌جایی مرکز جرم طبقات.

جدول ۲. ممان اینرسی جرمی طبقات.

| مرکزیت (%) | ممان اینرسی جرمی ( $10^6 \text{ kg.m}^3$ ) | خروج از طبقات | بام    |
|------------|--|---------------|--------|
| ۰          | ۱۵,۰۱۰                                     | ۱۵,۰۱۰        | ۱۱,۶۰۰ |
| ۵          | ۱۳,۵۰۰                                     | ۱۳,۵۰۰        | ۱۰,۴۳۰ |
| ۱۰         | ۱۲,۱۴۰                                     | ۱۲,۱۴۰        | ۹,۳۸۶  |
| ۱۵         | ۱۰,۹۵۰                                     | ۱۰,۹۵۰        | ۸,۴۶۴  |
| ۲۰         | ۹,۹۱۶                                      | ۹,۹۱۶         | ۷,۶۶۴  |

و تغییرشکل دیوارها و تیرهای رابط در تحلیل دینامیکی ساختمان ملاک عمل بوده است. سطوح عملکردی تعریف شده در دستورالعمل بهسازی لرزه‌ی ساختمان‌های موجود (نشریه‌ی ۳۶۰)،<sup>[۲۳]</sup> به عنوان معیار خرابی در المان‌های ساختمان لحاظ و از مقادیر کمی متناظر به این حالات حدی جهت بررسی سطح عملکردی استفاده شده است (جدول ۳). در جدول ۴، کنترل‌های انجام‌شده برای المان‌های مشخص شده در محور ۲ پلان (موقعیت المان‌های مذکور، طبقه‌ی اول ساختمان است)، ارائه شده است. بررسی‌های انجام‌شده، صحبت فرضیات مرحله‌ی مدل‌سازی رفتار غیرخطی المان‌ها را تأیید می‌کند. ضمن اینکه تمامی دیوارها و تیرهای رابط ساختمان‌های مورد مطالعه تحت نگاشتهای مذکور در سطح عملکردی قابلی استفاده‌ی بی‌وقفه قرار گرفته‌اند (شکل ۶).

برای دیوارهای برشی و قطعات دیواری که رفتار غیریجاعی آنها توسط برش کنترل می‌شود، نیروی محوری عضو باشد کمتر از مقدار حاصل از رابطه‌ی  $A_g / 15f_{cA}$  باشد. در غیر این صورت لازم است برش به عنوان پارامتر پاسخ کنترل شونده توسط نیرو فرض شود.<sup>[۲۴]</sup> بدین ترتیب، در جدول‌های مذکور، ظرفیت محوری المان‌ها از رابطه‌ی  $A_g / 15f_{cA}$  محاسبه شده است، که در آن  $A_g$  سطح مقطع کلی المان و  $f_c$  مقاومت فشاری مشخصه‌ی بتن مصرفی است. در ادامه، پاسخ‌های بیشینه‌ی دوران طبقات و بیشینه‌ی تغییرمکان نسبی در محل‌های مرکز جرم، لبه‌های نرم و سخت دیافراگم طبقات بررسی شده‌اند. به ازاء تمامی خروج از مرکزیت‌ها، لبه‌ی چپ دیافراگم طبقه (لبه‌ی نرم) که در مقایسه با لبه‌ی راست (لبه‌ی سخت) به مرکز جرم طبقه نزدیک‌تر است، همواره تغییرمکان نسبی بیشتری



شکل ۴. رفتار خمشی خطی تعریف شده در نرم افزار.<sup>[۲۵]</sup>

#### ۴. تحلیل‌های غیرخطی

با بررسی درصد دیوارها در پلان مشخص می‌شود که سختی و سطح مقاومت ساختمان‌ها در جهت  $x$  پلان بیشتر از جهت  $y$  آن است. بر این اساس، رفتار ساختمان‌های مورد مطالعه فقط در جهت  $y$  پلان بررسی شده است.

با توجه به شکل ۵، در مدل مبنا به مسظور جابه‌جایی مرکز جرم در امتداد طولی پلان با ثابت نگهداشتن جرم طبقات، قسمت‌هایی از پلان نسبت به سایر قسمت‌ها سینگین‌تر در نظر گرفته شده است.<sup>[۲۶]</sup>

شایان ذکر است که ممان اینرسی جرمی طبقات ( $I_M$ ) نیز براساس شرایط جدید محاسبه شده است (جدول ۲).

مقادیر بارهای مرده و زنده‌ی اعمال شده در مدل‌سازی این مرحله عیناً همان مقادیر در نظر گرفته شده برای مرحله‌ی طراحی اولیه ساختمان‌ها بوده و در ترکیب بازگذاری تقلیل و جانبی نیز مطابق رابطه‌ی ۱، حد بالای اثبات بار نقلی لحاظ شده است.

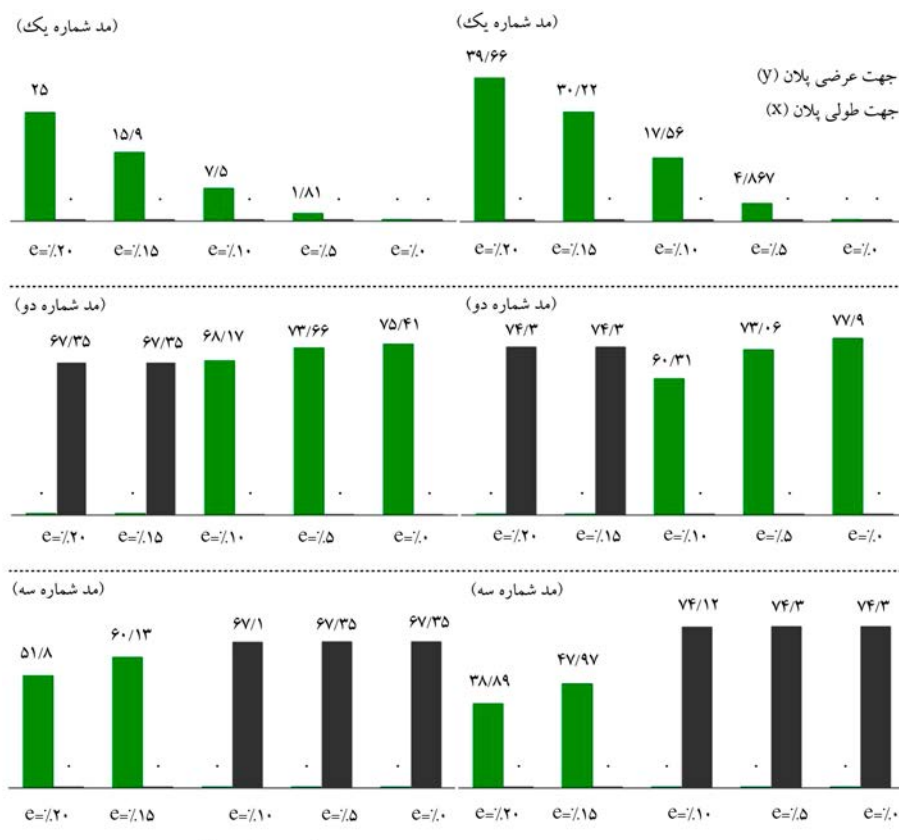
$$Q_G = 1/\gamma [Q_D + Q_L] \quad (1)$$

که در آن،  $Q_D$  بار مرده و  $Q_L$  بار زنده‌ی مؤثر است.

ضمن تمامی تحلیل‌ها، گزینه‌ی مربوط به لحاظ شدن اثرات ثانویه (P-Delta) در نرم افزار فعال بوده است. نتایج تحلیل مقدار ویژه و بررسی مدها آشکار می‌سازد که در خروج از مرکزیت صفر (مدل مبنا)، مدد افقی انتقال و کاملاً پیچشی است و خروج از مرکزیت‌ها، پیچش ساختمان را با جابه‌جایی انتقالی در جهت  $y$  پلان توأم می‌کنند. با افزایش مقدار خروج از مرکزیت، میزان انتقال در راستای نام‌برده نیز افزایش می‌یابد؛ ضمن اینکه تا خروج از مرکزیت  $10\%$  زمان تناوب مدد اول در هر دو ساختمان کاهش می‌یابد و از آن پس روند افزایشی دارد (شکل ۶ و ۷).

#### ۴. تحلیل تاریخچه‌ی زمانی

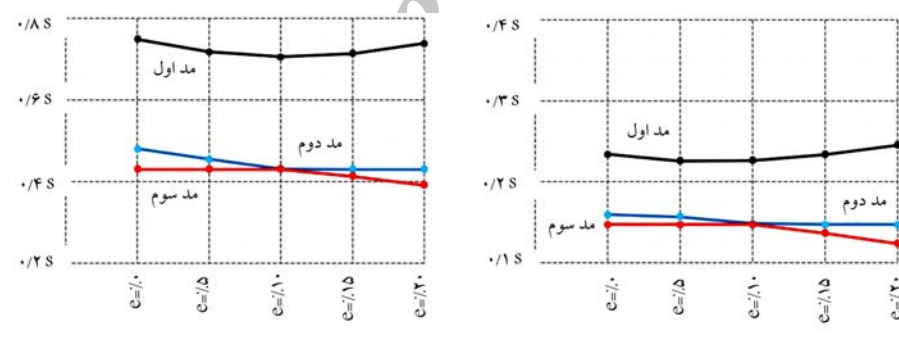
جهت انتظاب هر چه بیشتر نگاشته‌های بهکار برده با خطر ساختگاه، تصمیم گرفته شده است که از نگاشته‌های مصنوعی متناظر بر طیف طرح استفاده شود. بدین ترتیب ۷ نگاشته زلزله به صورت مصنوعی و براساس تبدیل موجک از روی طیف طلب منطقه، که براساس آین نامه‌ی زلزله‌ی ایران،<sup>[۱۷]</sup> برای خاک تیپ II و سطح خطر I (دوره‌ی بازگشت ۴۷۵ سال) تنظیم شده است (شکل ۸)، استخراج شده است. بیشینه‌ی شتاب در نگاشته‌های مذکور، به شتاب زلزله‌ی طرح ( $PG = 0,35g$ ) نزدیک است و برای تولید آنها از مؤلفه‌ی اصلی زلزله‌های معرفی شده در بخش ۵ استفاده شده است. بعد از انجام تحلیل، تمامی معیارهای پذیرش برای دیوارها و تیرهای رابط در حالت  $e = 0\%$  بررسی شده است. شایان ذکر است که بیشینه‌ی نیروهای داخلی



ب) ساختمان ۱۰ طبقه.

شکل ۶. ضریب جرم مؤثر انتقالی مدل‌ها در سه مد اول (%).

الف) ساختمان ۵ طبقه;



ب) ساختمان ۱۰ طبقه.

شکل ۷. زمان تناوب مدل‌ها در سه مد اول.

الف) ساختمان ۵ طبقه;

جدول ۳. پارامترهای مدل‌سازی و معیارهای پذیرش برای روش‌های غیرخطی - اعضاء کنترل شونده با برش.<sup>[۲۳]</sup>

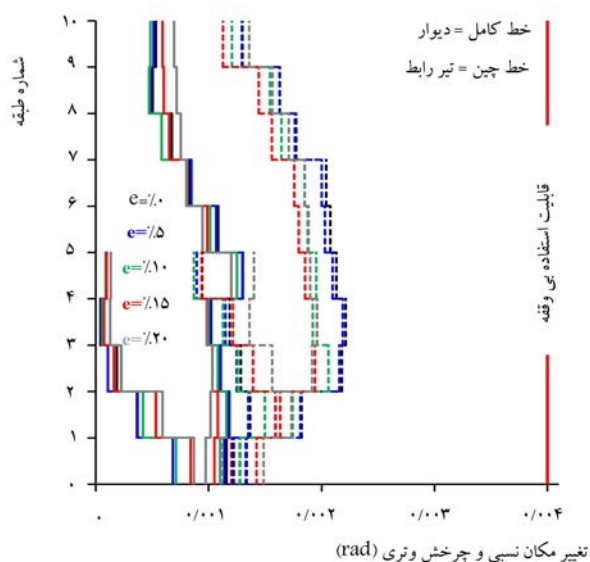
| پارامترهای مدل‌سازی                |                        |                              |            | پارامترهای مدل‌سازی          |      |       |     |
|------------------------------------|------------------------|------------------------------|------------|------------------------------|------|-------|-----|
| زاویه‌ی دوران خمیری (رادیان)       |                        |                              |            | زاویه‌ی دوران خمیری (رادیان) |      |       |     |
| زاویه‌ی دوران خمیری (رادیان)       |                        | زاویه‌ی دوران خمیری (رادیان) |            | نسبت مقاومت باقی‌مانده       |      | شرایط |     |
| سطح عملکرد                         | نسبت مقاومت باقی‌مانده | نوع عضو                      | باقی‌مانده | c                            | b    | a     |     |
| غیراصلی                            |                        | اصلی                         |            | IO                           |      |       |     |
| CP                                 | LS                     | CP                           | LS         |                              |      |       |     |
| الف) دیوارهای برشی یا قطعات دیوار  |                        |                              |            |                              |      |       |     |
| همه‌ی دیوارهای برشی یا قطعات دیوار | ۱/۵                    | ۰/۷۵                         | ۰/۷۵       | ۰/۶۰                         | ۰/۴۰ | ۰/۴۰  | ۲/۰ |



شکل ۸. مقایسه‌ی طیف شتاب نگاشتهای مصنوعی با طیف طلب منطقه.

جدول ۴. کنترل معیارهای پذیرش برای المان‌های نامبرده.

| ساختمان ۵ طبقه        |                   |                       |                   |                       |
|-----------------------|-------------------|-----------------------|-------------------|-----------------------|
| نسبت نیاز<br>به ظرفیت | تیر رابط<br>دیوار | نسبت نیاز<br>به ظرفیت | تیر رابط<br>دیوار | نسبت نیاز<br>به ظرفیت |
| نیروی محوری (ton)     | ۴/۴               | ۰/۰۸                  | ۱۴۱               | ۰/۳۸                  |
| ظرفیت محوری (ton)     | ۵۲/۵              | ۰/۰۷                  | ۳۷۵               | ۰/۳                   |
| لنگر خمشی (ton.m)     | ۸/۸۳              | ۰/۳۵                  | ۳۷۰/۷             | ۰/۳                   |
| ظرفیت خمشی (ton.m)    | ۲۵                | ۰/۱۲۶۰                | ۱۲۶۰              | ۰/۱                   |
| تغییرشکل (rad)        | ۰/۰۰۰۹            | ۰/۰۰۰۹                | ۰/۰۰۰۴            | ۰/۰۰۰۴                |
| ظرفیت تغییرشکل (rad)  | ۰/۰۰۰۹            | ۰/۰۰۰۹                | ۰/۰۰۰۴            | ۰/۰۰۰۴                |
| ساختمان ۱۰ طبقه       |                   |                       |                   |                       |
| نسبت نیاز<br>به ظرفیت | تیر رابط<br>دیوار | نسبت نیاز<br>به ظرفیت | تیر رابط<br>دیوار | نسبت نیاز<br>به ظرفیت |
| نیروی محوری (ton)     | ۱۹                | ۰/۳۶                  | ۳۵۷/۶             | ۰/۹۵                  |
| ظرفیت محوری (ton)     | ۵۲/۵              | ۰/۳۷۵                 | ۳۷۵               | ۰/۵۳                  |
| لنگر خمشی (ton.m)     | ۲۸/۳۲             | ۰/۰۸۴                 | ۸۸۳/۴             | ۰/۱۶۶۰                |
| ظرفیت خمشی (ton.m)    | ۳۸                | ۰/۰۸۴                 | ۱۶۶۰              | ۰/۰۲۸                 |
| تغییرشکل (rad)        | ۰/۰۰۱۳            | ۰/۰۰۱۱                | ۰/۰۰۰۱۱           | ۰/۰۰۰۴                |
| ظرفیت تغییرشکل (rad)  | ۰/۰۰۰۱۳           | ۰/۰۰۰۱۱               | ۰/۰۰۰۴            | ۰/۰۰۰۴                |



شکل ۹. میانگین بیشینه‌ی تغییرمکان نسبی و چرخش وتری ایجادشده در دیوارها و تیرهای رابط هر طبقه و حالت حدی متناظر به سطح عملکردی قابلیت استفاده‌ی بی‌وقفه.

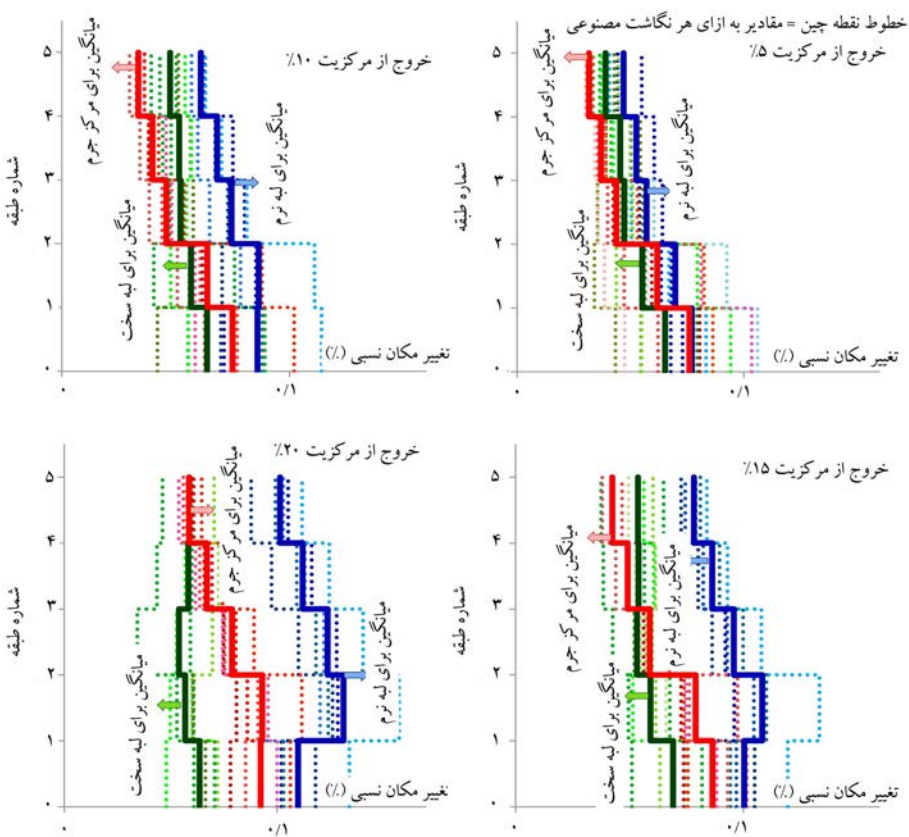
را تجربه می‌کند. از طرفی مقدار تغییرمکان نسبی برای هر دو لبه‌ی چپ و راست با افزایش خروج از مرکزیت جرم در طبقه افزایش می‌یابد و در طبقات بالاتر مقدار تغییرمکان نسبی برای هر دو لبه به مرتبه بیشتر از تغییرمکان نسبی مرکز جرم طبقه است. این مواد به خصوص در مورد ساختمان بلندتر مشهودتر است (شکل‌های ۱۰ و ۱۱). نمودار میانگین بیشینه‌ی چرخش دیافراگم طبقات تحت هر یک از نگاشتها (شکل ۱۲) نشان می‌دهد که در یک خروج از مرکزیت ثابت، در هر ساختمان از پایین به بالا مقدار چرخش دیافراگم افزایش می‌یابد. در یک طبقه‌ی مشخص نیز میزان چرخش دیافراگم با مقدار خروج از مرکزیت نسبت مستقیم دارد.

#### ۲.۴. تحلیل بارافروز

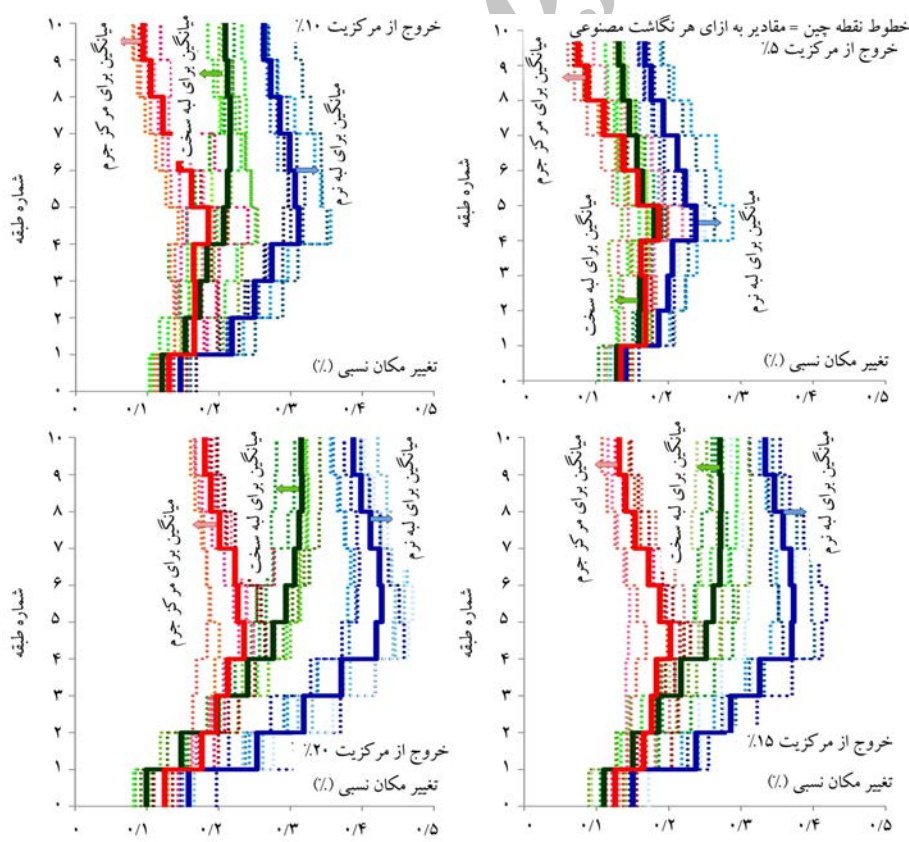
در مطالعه‌ی حاضر، تغییرمکان هدف ساختمان با استفاده از تحلیل تاریخچه‌ی زمانی و از میانگین‌گیری بیشترین تغییرمکان مرکز جرم بام ساختمان، تحت ۷ نگاشت مصنوعی در مرحله‌ی قبل به دست آمده است. الگوی توزیع بار جانبی در تحلیل استاتیکی غیرخطی، توزیع موadal در نظر گرفته شده است. این توزیع متناسب با مدهای مؤثر در جهت مورد نظر بوده و تعداد مدهای ارتعاشی چنان انتخاب شده است که دست‌تکم ۹۰٪ جرم ساختمان در تحلیل مشارکت می‌کند. بعد از انجام تحلیل مذکور (مشابه بخش ۱.۴)، تمامی معیارهای پذیرش برای دیوارها و تیرهای رابط در حالت  $e = 0\%$  بررسی شده است. برای این منظور نیروهای داخلی و تغییرشکل دیوارها و تیرهای رابط، در تغییرمکان هدف ساختمان برداشت شده است. شایان ذکر است که برای ارزیابی ساختمان‌ها نیز سطح عملکردی ایمنی جانی ملاک قرار گرفته است. نمونه‌ی کنترل‌های انجام شده برای المان‌های معرفی شده در بخش قبل، در جدول ۵ ارائه شده است.

در ادامه، خرابی ساختمان‌های مورد مطالعه تحت تحلیل بارافروزون بررسی و در هر خروج از مرکزیت، نسبت جابه‌جاوی مرکز جرم بام به ارتفاع ساختمان درست زمانی که اولین دیوارها و تیرهای رابط به سطوح عملکردی قابلیت استفاده‌ی بی‌وقفه و ایمنی جانی رسیده‌اند، تعیین شده است. در شکل‌های ۱۳ و ۱۴، مقادیر این نسبت‌ها به همراه نسبت‌های متناظر با زلزله‌ی طرح، روی مبنحنی ظرفیت حاصل از تحلیل بارافروز مشاهده می‌شود.

ضمن تحلیل بارافروزون معلوم شده است که با ایجاد خروج از مرکزیت جرم، خرابی دیوارها و تیرهای رابط ساختمان از حالت تقارن خارج شده و المان‌های واقع در محورهای ۳ و ۴ پلان (شکل ۲) که نزدیکتر به مرکز جرم هستند، زودتر از سایر المان‌ها به سطوح عملکردی می‌رسند. با توجه به شکل‌های ۱۳ و ۱۴، تا قبیل از زمانی که اولین دیوارهای ساختمان به سطوح عملکردی و خرابی برستند، ظرفیت ساختمان در خروج از مرکزیت‌های کمتر بیشتر است. در تمامی خروج از مرکزیت‌ها تقریباً به ازاء برش پایه‌ی یکسان، دیوارهای ساختمان برای اولین بار به سطح عملکردی ایمنی جانی می‌رسند. تیرهای رابط نیز اولین قسمت‌های آسیب‌پذیر ساختمان هستند، اما پس از خرابی نمی‌توانند تأثیر قابل توجهی در روند کلی منحنی ظرفیت ساختمان داشته باشند. در واقع تا زمانی که دیوارها به سطوح عملکردی نرسند، منحنی ظرفیت دچار افت شدید نمی‌شود، لذا می‌توان این المان‌ها را در زمرة‌ی عناصر باربر غیر اصلی قرار داد. از طرفی در سطح خطر را کلیه‌ی دیوارها و تیرهای رابط در مدل‌های مورد مطالعه، به سطوح عملکرد قابلیت استفاده‌ی بی‌وقفه جواب می‌دهند.



شکل ۱۰. بیشینه‌ی تغییرمکان نسبی لبه‌ها، مرکز جرم و میانگین آنها (ساختمان ۵ طبقه).

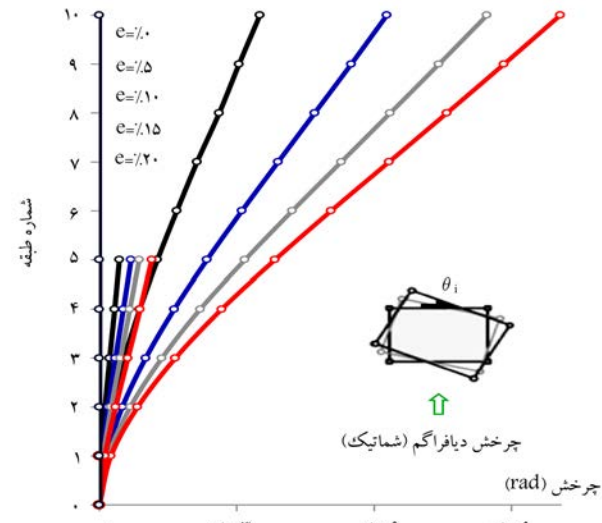


شکل ۱۱. بیشینه‌ی تغییرمکان نسبی لبه‌ها، مرکز جرم و میانگین آنها (ساختمان ۱۰ طبقه).

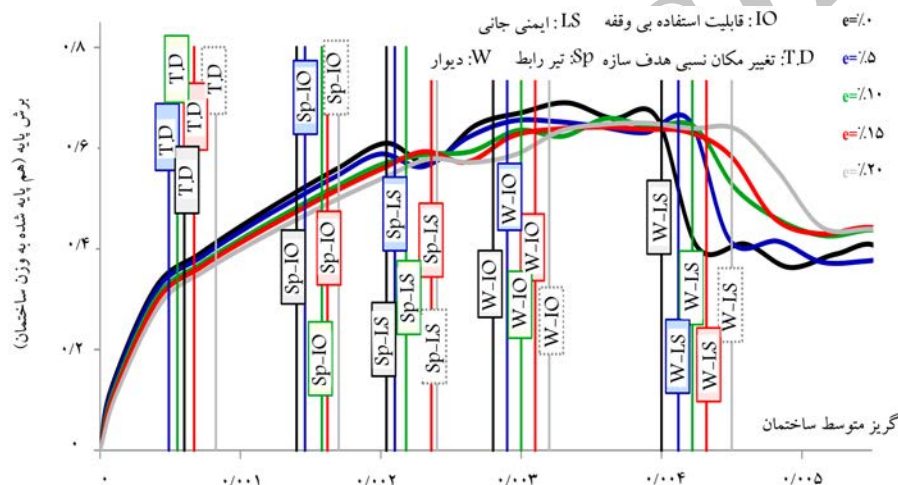
## ۵. استخراج منحنی‌های شکنندگی به روش تحلیل دینامیکی افزایشی

در تعیین اینکه در یک منطقه‌ی خاص، زلزله‌ی با شدت مشخص، یک ساختمان را به چه سطحی از عملکرد می‌رساند، عدم قطعیت‌های زیادی وجود دارد. این عدم قطعیت‌ها را می‌توان به ۲ دسته‌ی کلی تقسیم کرد: دسته‌ی اول، عدم قطعیت‌هایی هستند که به صورت ذاتی در طبیعت موجود هستند، مانند تفاوت‌های موجود در خواص و مقاومت مواد، اثرات محیطی و...؛ دسته‌ی دوم عدم قطعیت‌ها، منابع خطأ را شامل می‌شوند، مانند: خطاهای موجود در روش‌های محاسباتی، مدل‌سازی و...<sup>[۲۷]</sup>. بنابراین بیان عملکرد ساختمان به فرم احتمالاتی منطقی ترین راهی است که به نظر می‌رسد. اگر پارامتر  $R$ ، بیان‌گر پاسخ ساختمان و  $LS_i$  سطح عملکرد یا حالت حدی مرتبط با پارامتر  $R$ ،  $IM$  یکی از پارامترهای بیان‌گر شدت زلزله،  $S$  مقدار شدت مورد نظر باشد، آنگاهتابع شکنندگی به فرم ریاضی (راطه‌ی ۲) تعریف می‌شود:

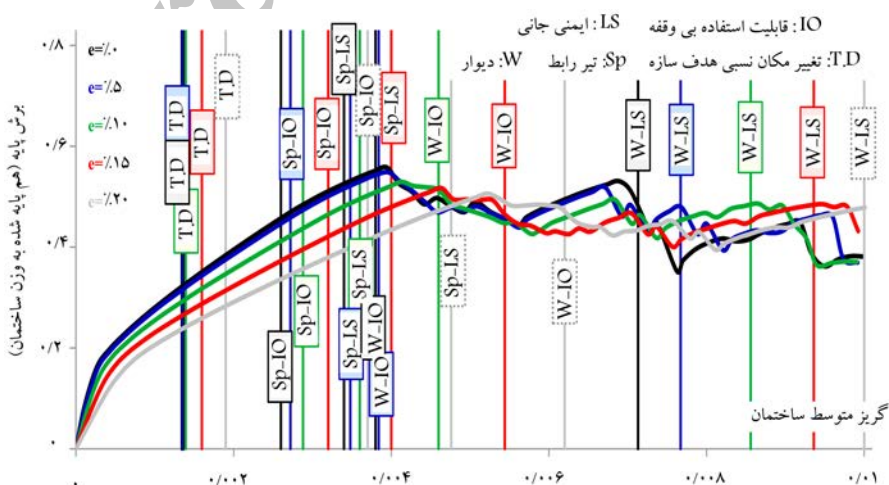
$$Fragility = P [R > LS_i | IM = S] \quad (2)$$



شکل ۱۲. میانگین پیشینه‌ی چرخش دیافراگم طبقات.



شکل ۱۳. منحنی ظرفیت ساختمان ۵ طبقه در خروج از مرکزیت‌های مختلف.



شکل ۱۴. منحنی ظرفیت ساختمان ۱۰ طبقه در خروج از مرکزیت‌های مختلف.

جدول ۵. کنترل معیارهای پذیرش برای المان‌های نامبرده.

| ساختمان ۵ طبقه        |        |                       |          |                       |
|-----------------------|--------|-----------------------|----------|-----------------------|
| نسبت نیاز<br>به ظرفیت | دیوار  | نسبت نیاز<br>به ظرفیت | تیر رابط | نیروی محوری (ton)     |
| ۰,۴                   | ۱۵۲    | ۰,۱                   | ۵/۱      | نیروی محوری (ton)     |
|                       | ۳۷۵    |                       | ۵۲/۵     | ظرفیت محوری (ton)     |
| ۰,۳۷                  | ۴۶۰    | ۰,۴۲                  | ۱۰/۴     | لنگر خمیشی (ton.m)    |
|                       | ۱۲۶۰   |                       | ۲۵       | ظرفیت خمیشی (ton.m)   |
| ۰,۱۲                  | ۰,۰۰۰۷ | ۰,۲۳                  | ۰,۰۰۱۴   | تعییر شکل (rad)       |
|                       | ۰,۰۰۰۶ |                       | ۰,۰۰۰۶   | ظرفیت تعییر شکل (rad) |

| ساختمان ۱۵ طبقه       |        |                       |          |                       |
|-----------------------|--------|-----------------------|----------|-----------------------|
| نسبت نیاز<br>به ظرفیت | دیوار  | نسبت نیاز<br>به ظرفیت | تیر رابط | نیروی محوری (ton)     |
| ۰,۹۷                  | ۳۶۴,۲  | ۰,۳۸                  | ۲۰       | نیروی محوری (ton)     |
|                       | ۳۷۵    |                       | ۵۲/۵     | ظرفیت محوری (ton)     |
| ۰,۵۴                  | ۹۰۰    | ۰,۷۸                  | ۲۹/۶     | لنگر خمیشی (ton.m)    |
|                       | ۱۶۶۰   |                       | ۲۸       | ظرفیت خمیشی (ton.m)   |
| ۰,۲                   | ۰,۰۰۱۲ | ۰,۲۵                  | ۰,۰۰۱۵   | تعییر شکل (rad)       |
|                       | ۰,۰۰۰۶ |                       | ۰,۰۰۰۶   | ظرفیت تعییر شکل (rad) |

در واقع، منحنی‌های شکنندگی توزیع احتمال تجمعی از خسارت را بیان می‌کنند.<sup>[۲۸]</sup> در سال‌های اخیر، از تحلیل‌های شکنندگی به عنوان وسیله‌ی برای تعیین آسیب‌پذیری لرزه‌یی سدهای بتی، پایه‌ی پل‌ها، شمع‌ها و میان قاب‌ها در ساختمان‌های اسکلت بتی و فولادی استفاده شده است.<sup>[۲۹]</sup> همان‌گونه که بیان شده است، تهییه‌ی منحنی‌های شکنندگی نیازمند یک تحلیل احتمالاتی است و بر حسب دقت موردنظر می‌توان از روش‌های مختلفی مانند: روش مبتنی بر قضاوت کارشناسان، روش تجربی آماری، روش آزمایشگاهی، روش تحلیلی، و روش ترکیبی به آنها رسید.<sup>[۳۰]</sup> در مطالعه‌ی حاضر منحنی‌های شکنندگی به روش تحلیلی و با استفاده از تحلیل دینامیکی افزایشی تهییه شده‌اند. در تحلیل دینامیکی افزایشی از مفهوم دیرینه‌ی مقیاس‌کردن نگاشتهای حرکت زمین و توسعه‌ی آن به روشی که بتوان با دقت مناسب مقدار طلب و ظرفیت ساختمان را در محدوده‌ی وسیعی از رفتار ارتجاعی تا انهدام ساختمان پوشش داد، استفاده شده است.<sup>[۳۱]</sup> در پژوهش حاضر، برای انجام تحلیل دینامیکی افزایشی، ۷ شتاب‌نگاشت که جزو نگاشتهای دور از گسل به شمار می‌روند، از پایگاه داده‌های وبسایت PEER برداشت شده‌اند.<sup>[۳۲]</sup> نگاشتهای انتخابی از گسل‌های دارای سازوکار معکوس و بزرگ‌ای بین ۶ تا ۷/۵ ریشتر هستند و با شرایط خاک محل ( نوع B از طبقه‌بندی USGS ) هم خوانی دارند (جدول ۶). پس از رسم پاسخ طیفی هر زوج شتاب‌نگاشت و مقایسه‌ی آنها، مؤلفه‌ی رکورد اصلی براساس مقادیر طیفی بزرگ‌تر در محدوده‌ی بسامدی ارتعاشی ساختمان تعیین و جهت انجام تحلیل انتخاب شده است. در مطالعه‌ی حاضر، بیشینه‌ی شتاب زمین جهت تعریف پارامتر شدت انتخاب شده است. با درنظرگرفتن میزان تعییر مکان جانبی نسبی و چرخش وتری به ترتیب

در دیوارها و تیرهای رابط به عنوان پارامتر پاسخ، سطوح عملکردی تعریف شده در دستورالعمل بهسازی لرزه‌یی ساختمان‌های موجود (نشریه‌ی ۳۶۰)<sup>[۲۳]</sup> را به عنوان معیار در نظر گرفته (جدول ۳) و به ازاء سطوح مختلف خطر احتمال گذشتن از این حالات خرابی، تعیین و منحنی‌های شکنندگی ترسیم شده است (شکل‌های ۱۵ الی ۱۷).

مطابق شکل شماتیک ۱۵، جهت رسم منحنی‌های شکنندگی برای هر حالت حدی (سطح عملکردی)، مقادیر بیشینه‌ی شتاب زمین از روی منحنی‌های حاصل از تحلیل دینامیکی افزایشی برداشت می‌شود. در گامی دیگر، با فرض اینکه لگاریتم طبیعی مقادیر حاصل دارای توزیع نرمال باشد، پس از محاسبه‌ی پارامترهای میانگین (μ) و واریانس (σ<sup>۲</sup>) برای مقادیر برداشت شده، به ازاء هر حالت حدی یک تابع چگالی احتمال ( $F(X)$ ) استخراج می‌شود. با جایگزینی مقداری برای  $X$  به عنوان یک سطح از شدت، سطح زیر منحنی تابع چگالی احتمال از ۰–۱ تا ۰,۱۲، احتمال گذشتن ساختمان از حالت حدی موردنظر در این سطح از شدت را نشان می‌دهد ( $P$ ). تکرار این روش و استخراج مقادیر احتمال برای شدت‌های مختلف، منجر به استخراج منحنی شکنندگی برای سطح عملکردی موردنظر خواهد شد.

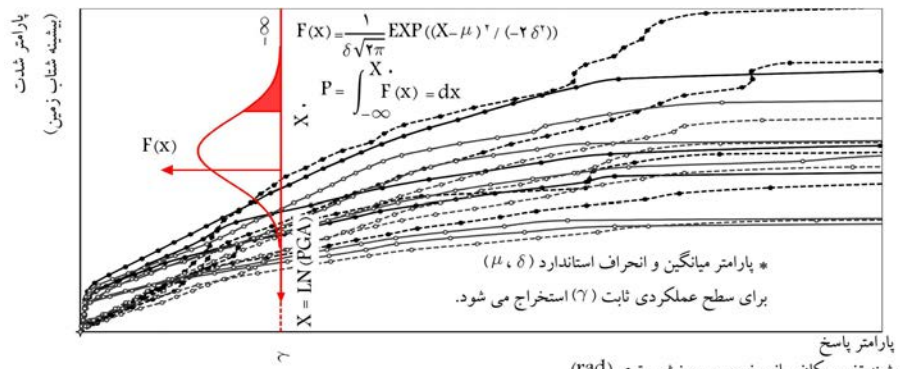
منحنی‌های شکنندگی را برای حالتی که سطح خطر ثابت باشد، نیز می‌توان رسم کرد. بدین منظور در تحلیل دینامیکی افزایشی نسبت جابه‌جاوی مرکز جرم بام به ارتفاع ساختمان به عنوان پارامتر پاسخ در نظر گرفته شده است. مطابق شکل ۱۸، برای یک سطح از شدت، مقادیر پاسخ از روی منحنی‌ها برداشت می‌شود. پس از استخراج تابع چگالی احتمال برای همین سطح از شدت مطابق حالت قبل، با انتخاب مقداری برای  $X$  به عنوان نسبت جابه‌جاوی مرکز جرم بام به ارتفاع ساختمان در یک روند و استخراج مقادیر احتمال به ازاء نسبت‌های مختلف جابه‌جاوی مرکز جرم بام به ارتفاع ساختمان، منجر به استخراج یک منحنی برای سطح خطر موردنظر خواهد شد.

برای ساختمان‌های مورد مطالعه و به ازاء خروج از مرکزیت‌های مختلف، برای ۲ سطح خطر با دوره‌های بازگشت ۴۷۵ سال و ۲۴۷۵ سال، این منحنی‌ها مطابق روند تشریح شده، استخراج و در شکل‌های ۱۹ و ۲۰ نمایش داده شده‌اند. شایان ذکر است که حالات حدی مشخص شده روی منحنی‌های مذکور از نتایج تحلیل با رافزون است و همان نسبت جابه‌جاوی مرکز جرم بام به ارتفاع ساختمان است، زمانی که برای اولین بار دیوارها و تیرهای رابط به سطوح عملکردی قابلیت استفاده بی‌وقفه و ایمنی جانی می‌رسند.

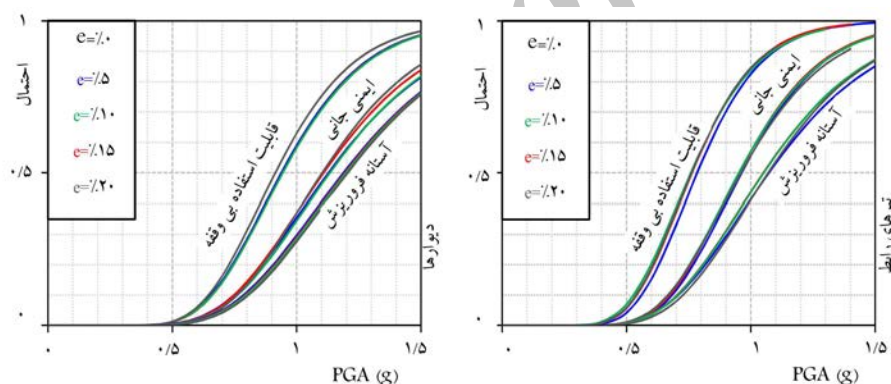
بررسی منحنی‌های شکنندگی مشخص می‌سازد که احتمال رسیدن تیرهای رابط ساختمان به سطوح عملکردی هموار بیشتر از دیوارهای است. افزایش خروج از مرکزیت جرم، احتمال رسیدن دیوارها و تیرهای رابط به سطوح عملکردی را به صورت جزئی افزایش می‌دهد. با افزایش ارتفاع ساختمان، احتمال رسیدن المان‌ها به سطوح عملکردی مختلف بیز افزایش می‌یابد. افزایش ارتفاع نسبت به افزایش خروج از مرکزیت مرکز جرم، تأثیر بیشتری در افزایش مقادیر احتمالات دارد. در هر دو ساختمان و به ازاء تمامی خروج از مرکزیت‌ها، تیرهای رابط و دیوارها در سطوح خطر با دوره‌های بازگشت ۴۷۵ سال و ۲۴۷۵ سال، به سطوح عملکردی قابلیت استفاده بی‌وقفه جواب می‌دهند.

جدول ۶. نگاشت‌های انتخابی جهت انجام تحلیل دینامیکی افزایشی (IDA).

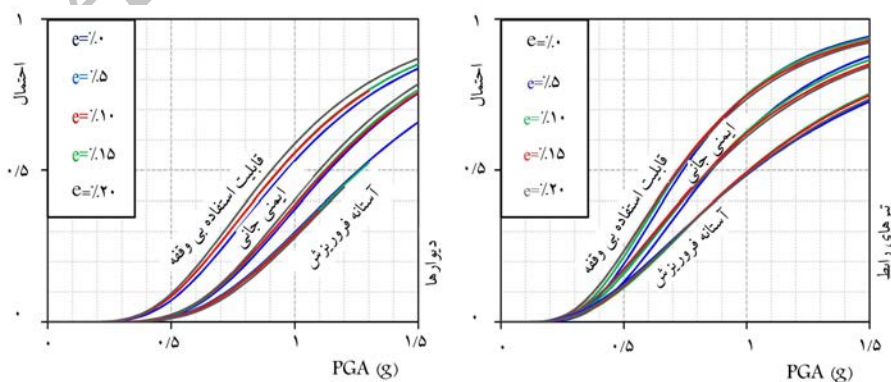
| نام            | برگ (M <sub>s</sub> ) | بیشینه‌ی شتاب (g) | تاریخ و قوع | مؤلفه | ایستگاه ثبت نگاشت                 |
|----------------|-----------------------|-------------------|-------------|-------|-----------------------------------|
| Cape Mendocino | 7/1                   | °, ۱۷۸۲           | ۱۹۹۲/۰۴/۲۵  | ۹۰    | Eureka - Myrtle & West            |
| Northridge     | 6/7                   | °, ۲۴۵۵           | ۱۹۹۴/۰۱/۱۷  | ۱۸۰   | Hollywood - Willoughby Ave        |
| Northridge     | 6/7                   | °, ۰۶۲۹           | ۱۹۹۴/۰۱/۱۷  | ۹۰    | ۲۴۵۲۳ Lake Hughes #۴B - Camp Mend |
| Cape Mendocino | 7/1                   | °, ۱۱۶۱           | ۱۹۹۲/۰۴/۲۵  | ۰     | ۸۹۴۸۶ Fortuna - Fortuna Blvd      |
| Northridge     | 6/7                   | °, ۲۴۵۱           | ۱۹۹۴/۰۱/۱۷  | ۳۵۲   | ۹۰۰۶۱ Big Tujunga, Angeles Nat F  |
| Landers        | 7/4                   | °, ۱۳۵۲           | ۱۹۹۲/۰۶/۲۸  | ۹۰    | ۲۳۵۰۹ Barstow                     |
| San Fernando   | 6/6                   | °, ۱۱۰۳           | ۱۹۷۱/۰۲/۰۹  | ۹۰    | ۸۰۰۵۳ Pasadena - CIT Athenaeum    |



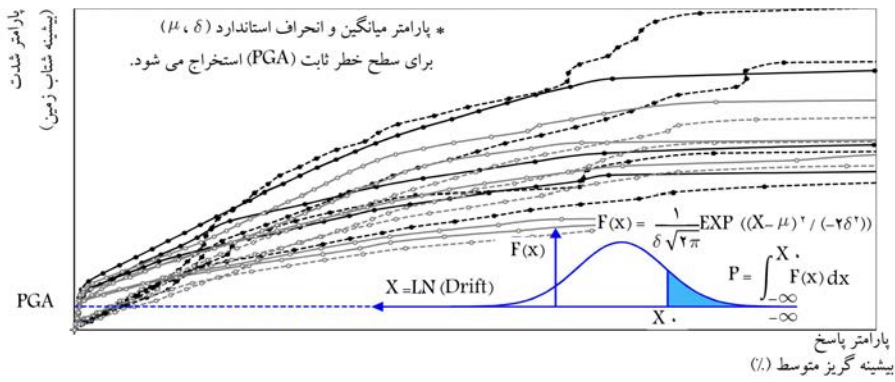
شکل ۱۵. احتمال گذشتن از یک سطح عملکردی ثابت در سطح خطری فرضی (شماییک).



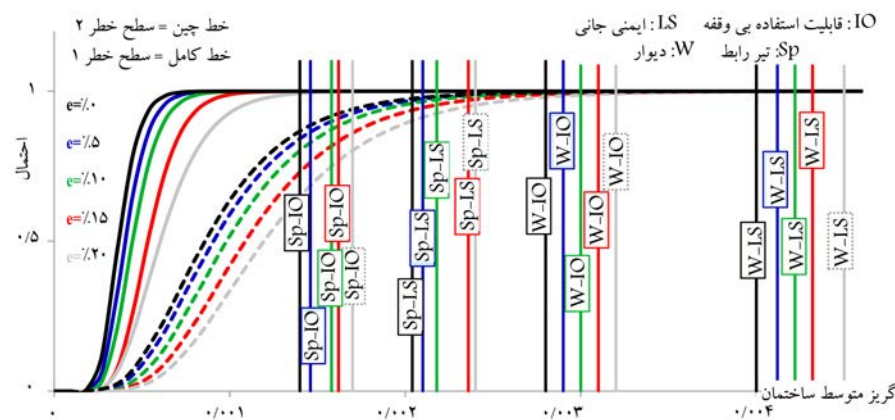
شکل ۱۶. منحنی‌های شکنندگی برای سطوح مختلف عملکردی در دیوارها و تیرهای رابط (ساختمان ۵ طبقه).



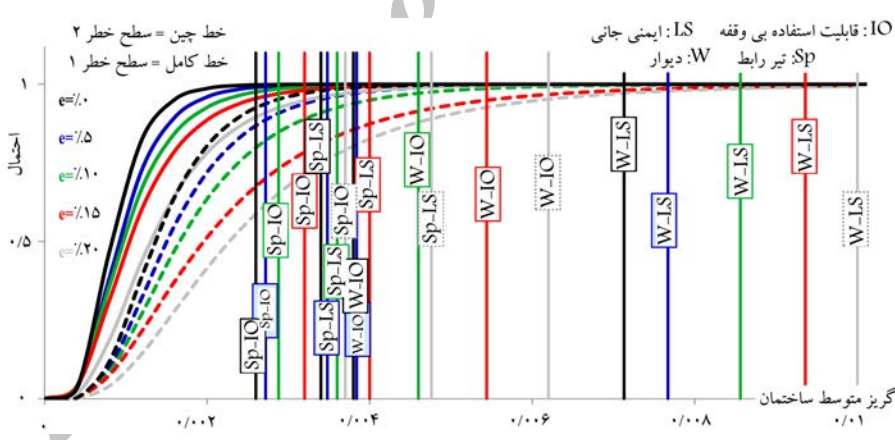
شکل ۱۷. منحنی‌های شکنندگی برای سطوح مختلف عملکردی در دیوارها و تیرهای رابط (ساختمان ۱۰ طبقه).



شکل ۱۸. احتمال نرسیدن به سطح عملکردی فرضی در یک سطح خطر ثابت (شمایلیک).



شکل ۱۹. میزان قابلیت اعتماد به المان‌ها در سطوح خطر مختلف (ساختمان ۵ طبقه).



شکل ۲۰. میزان قابلیت اعتماد به المان‌ها در سطوح خطر مختلف (ساختمان ۱۰ طبقه).

که در آن  $K_\theta$  سختی پیچشی  $I_M$  ممان اینرسی جرمی،  $K$  سختی جانبه و  $M$  جرم سیستم است. مطابق رابطه ۴، سختی پیچشی در مرکز سختی و ممان اینرسی جرمی در مرکز جرم محاسبه شده‌اند.<sup>[۲۵]</sup>

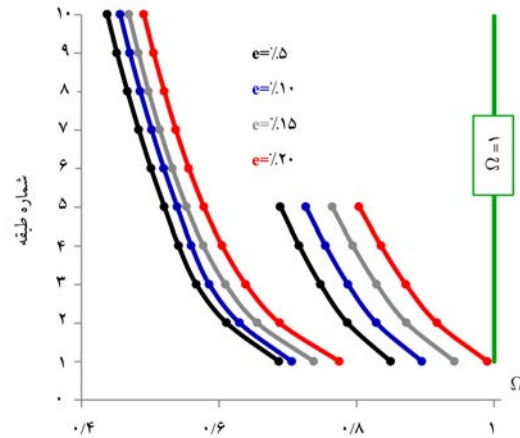
## ۶. بررسی بسامدهای طبیعی ساختمان‌ها

پارامتر  $\Omega$ ، کمیت مناسبی برای ارزیابی سختی پیچشی در ساختمان است و از تقسیم بسامد پیچشی ساختمان بر بسامد انتقالی آن براساس رابطه‌ی ۳ برآورد می‌شود:

$$\Omega^\tau = \frac{K_{\theta,CS} \times M}{I_{M,CM} \times K} = \frac{\rho_K^\tau}{\rho_M^\tau} \quad (4)$$

در رابطه‌ی اخیر،  $\rho_K$  شعاع ژیراسیون سختی هم‌پایه شده حول مرکز سختی و  $M$

$$\Omega = \sqrt{\frac{K_\theta}{K} \times \frac{M}{I_M}} \quad (3)$$



شکل ۲۱. نسبت بسامدهای غیرهمبسته.

در محدوده‌ی مدل‌های مورد بررسی، نتایج بیان‌گر عملکرد لرزه‌ی قابل قبول سیستم قالب‌تونلی تحت پیچش‌های ناشی از توزع نامقarn جرم در پلان است. تحلیل با رازفون نشان داده است که:

۱. تا زمانی که دیوارها به سطوح عملکردی نرسیده‌اند، افزایش خروج از مرکزیت سبب افت در منحنی ظرفیت ساختمان می‌شود. این مورد مخصوصاً برای ساختمان‌بازار، مشهودتر است.

۲. در هر ساختمان، ایجاد خروج از مرکزیت سبب پایین آمدن سطح عملکرد نمی‌شود و فقط الگوی خرابی در المان‌های ساختمان‌ها تغییر می‌کند. المان‌هایی که به مرکز جرم نزدیک‌ترند، زودتر به سطوح عملکردی می‌رسند.

۳. در زلزله طرح، تمامی المان‌های ساختمان‌های مورد مطالعه با خروج از مرکزیت‌های مختلف در سطح عملکردی قابلیت استفاده‌ی بی‌وقفه قرار می‌گیرند.

۴. ابعاد کوچک‌تر و درصد آرماتورهای برشی کمتر تیرهای رابط نسبت به دیوارهای برشی، منجر به مقاومت برشی کمتر این المان‌ها نسبت به دیوارها می‌شوند و لذا المان‌های مذکور، اولین قسمت‌های آسیب‌پذیر ساختمان هستند.

۵. زمانی که دیوارها به سطوح عملکردی می‌رسند، افت‌های شدید در منحنی ظرفیت ساختمان‌ها نمی‌دهد و به ازاء تمام خروج از مرکزیت‌ها تقریباً به ازاء برش پایه‌ی یکسان، اولین دیوار ساختمان‌ها به سطح عملکردی اینمی جانی می‌رسد. در واقع ظرفیت نهایی ساختمان‌های مورد بررسی به صورت چشمگیر به خروج از مرکزیت جرم حساس نیست.

با بررسی بسامدهای طبیعی مدل‌ها و استناد به نتایج تحلیل تاریخچه‌ی زمانی غیرخطی مشخص شده است که:

۱. ساختمان‌ها، رفتار پیچشی نرم دارند و در آنها سختی پیچشی همواره از سختی جانمی کمتر است.

۲. در هر ساختمان با افزایش خروج از مرکزیت و در هر طبقه، انتقال نسبت به پیچش بیشتر می‌شود. این مورد به خصوص برای ساختمان‌کوتاه‌تر، مشهودتر است.

۳. در هر مدل از پایین به بالا بر میزان چرخش دیافراگم و پیچش طبقه افزوده می‌شود، لذا با افزایش ارتفاع ساختمان این مورد نیز تشدید می‌شود.

۴. جابه‌جایی دیافراگم سقف، تابع اثرات ناشی از هر دو مد انتقالی و پیچشی سیستم است و همواره تغییرمکان لبه‌ی نرم نسبت به لبه‌ی سخت بیشتر است.

۵. تغییرمکان‌های لبه‌ی نرم، لبه‌ی سخت، و مرکز جرم طبقات ساختمان‌ها به مقدار خروج از مرکزیت‌ها و نیز زلزله‌ی ورودی حساس‌اند و با افزایش خروج از مرکزیت و شدیدترشدن زلزله افزایش می‌یابند.

۶. با توجه به اینکه در طبقات انتهایی هر مدل، مرکز جرم نسبت به لبه‌های چپ و راست دیافراگم تغییرمکان نسبی کمتری را تجربه می‌کند، برای ضوابط تغییرمکانی مخصوصاً زمانی که ارتفاع ساختمان زیاد است، مرکز جرم، نقطه‌ی کنترل مناسبی به نظر نمی‌رسد.

دقت در منحنی‌های شکنندگی مشخص می‌سازد که:

۱. در ساختمان ۵ طبقه و در زلزله‌ی سطح خطر ۱ به ازاء تمامی خروج از مرکزیت‌ها، احتمال رسیدن دیوارها و تیرهای رابط به سطح عملکردی قابلیت استفاده‌ی

شعاع زیراسیون جرم هم‌پایه‌شده حول مرکز جرم هستند و به صورت رابطه‌ی ۵ محاسبه می‌شوند:

$$\rho_K = \frac{1}{b} \sqrt{\frac{K_{\theta,CS}}{K}}, \quad \rho_M = \frac{1}{b} \sqrt{\frac{I_{M,CM}}{M}} \quad (5)$$

برای ساختمان‌های چند طبقه، محاسبه‌ی پارامتر  $K$  کار دشواری است و با استفاده از رابطه‌ی ۵، به سادگی امکان‌پذیر نیست. برای غلبه بر این مشکل از شاخص پیچشی  $\Delta$  استفاده شده است، که به صورت نسبت جابه‌جایی‌های لبه‌های چپ و راست دیافراگم طبقات در حالتی که ساختمان در محدوده‌ی کشسان است و تحت تحلیل با رازفون با شماهی بارگذاری به صورت مثلثی در مرکز جرم طبقات قرار گرفته است، تعریف می‌شود. با استفاده از رابطه‌ی ۶ می‌توان به  $\rho_K$  رسید.<sup>[۱]</sup> در پژوهش حاضر،  $\rho_K$  برای هر طبقه از رابطه‌ی ۶ محاسبه شده است:

$$\Delta = \frac{\delta_{\min}}{\delta_{\max}} = 1 - \left( \frac{e}{\rho_K} \right) \left( 1 + \left( \frac{e}{0.5} + \eta \right) \right)^{-1} \quad (6)$$

که در آن،  $\delta_{\min}$  کمینه‌ی جابه‌جایی لبه با بارگذاری در مرکز جرم؛  $\delta_{\max}$  بیشینه‌ی جابه‌جایی لبه با بارگذاری در مرکز جرم؛  $\Delta$  نسبت جابه‌جایی‌ها با بارگذاری در مرکز جرم؛  $e$  فاصله‌ی بین مرکز جرم و سختی در طبقه (هم‌پایه‌شده به عرض پلان)؛  $\eta$  فاصله‌ی بین مرکز هندسی و مرکز سختی در طبقه (هم‌پایه‌شده به عرض پلان). با توجه به اینکه ساختمان‌ها از نظر هندسه، مشخصات مقاطع المان‌ها و موقعیت قرارگیری آنها در پلان، کاملاً منظم و متقارن هستند، در رابطه‌ی ۶، مقدار این پارامتر  $\Delta$  صفر لحاظ شده است.

مقدار یکمی محاسبه‌شده‌ی پارامتر  $\Omega$  برای هر طبقه از مدل‌های مورد مطالعه در شکل ۲۱ ارائه شده است.

مشخص است که به ازاء تمامی خروج از مرکزیت‌ها،  $\Omega$  همواره کمتر از ۱ است و ساختمان‌ها رفتار پیچشی از نوع نرم دارند. با افزایش شماره‌ی طبقه، مقدار پارامتر  $\Omega$  کاهش می‌یابد، که نشان‌دهنده‌ی پیچش بیشتر در طبقات بالاتر است. در هر ساختمان با افزایش خروج از مرکزیت جرم، در هر طبقه، بر مقدار  $\Omega$  افزوده می‌شود که نشان‌دهنده‌ی افزایش انتقال نسبت به پیچش در طبقه است. در ساختمان کوتاه‌تر،  $\Omega$  به توزع نامقarn جرم حساس‌تر بوده است. نتایج این بخش با نتایج حاصل از تحلیل تاریخچه‌ی زمانی غیرخطی هم‌خوانی دارد.

۳. در هر ساختمان با افزایش خروج از مرکزیت، احتمال رسیدن المان‌های ساختمان به سطوح عملکردی به صورت جزئی افزایش می‌یابد و در کل ساختمان‌ها با خروج از مرکزیت‌های کمتر، اینم ترند.
۴. با افزایش ارتفاع ساختمان، احتمال خرابی المان‌ها و رسیدنشان به سطوح عملکردی نیز افزایش می‌یابد. پارامتر ارتفاع بیشتر از میزان خروج از مرکزیت در افزایش مقادیر احتمالات مؤثر است.

- بی‌وقفه، کمتر از ۱٪ و تقریباً صفر است. برای سطح خطر ۲، این احتمال برای تیرهای رابط کمتر از ۱۰٪ و برای دیوارها کمتر از ۳٪ است.
۲. در ساختمان ۱۰ طبقه و در زلزله‌ی سطح خطر ۱ به ازاء تمامی خروج از مرکزیت‌های، احتمال رسیدن دیوارها و تیرهای رابط به سطح عملکردی قابلیت استفاده‌ی بی‌وقفه، به ترتیب کمتر از ۲ و ۱۰ درصد است. برای سطح خطر ۲، این احتمالات به ترتیب کمتر از ۱۵ و ۳۰ درصد هستند.

## (References) منابع

1. Mirghaderi, R., Moghadam, A., Yousefpour, H., Pahlevan, H., . "Assessment of nonlinear seismic behavior of tunnel form concrete buildings", *1st International Conference on Concrete Technology*, Tabriz, Iran (6-7 November 2009).
2. Balkaya, C. and Kalkan, E. "Seismic vulnerability, behavior and design of tunnel form building structures", *Engineering Structures*, **26**(14), pp. 2081-2099 (2004).
3. Balkaya, C. and Kalkan, E. "Estimation of fundamental periods of shear-wall dominant building structures", *Earthquake Engineering & Structural Dynamics*, **32**(7), pp. 985-998 (2003).
4. Seyedtaghia, S.A. and Moghadam, A.S. "Efficiency of standard 2800 provisions for buildings with low torsional to translational modal frequencies ratio", *Steel & Structure*, **5**(5), pp. 40-51 (2009).
5. Goel, R.K. and Chopra, A.K. "Period formulas for concrete shear wall buildings", *Journal of Structural Engineering*, **124**(4), pp. 426-433 (1998).
6. Lee, L.H., Chang, K.K. and Chun, Y.S. "Experimental formula for the fundamental period of RC building with shear wall dominant systems", *The Structural Design of Tall Buildings*, **9**(4), pp. 295-307 (2000).
7. Balkaya, C. and Kalkan, E. "Relevance of R-factor and fundamental period for seismic design of tunnel-form building", *13th World Conference on Earthquake Engineering*, Vancouver, Canada (2004).
8. Balkaya, C. and Kalkan, E. "Seismic design parameters for shear-wall dominant building structures", *The 14th National Congress on Earthquake Engineering*, Mexico (2003).
9. Yuksel, S.B. and Kalkan, E. "Behavior of tunnel form buildings under quasi-static cyclic lateral loading", *Structural Engineering and Mechanics*, **27**(1), pp. 99-115 (2007).
10. Kalkan, E. and Yuksel, S.B. "Pros and cons of multi story RC tunnel-form (box-type) buildings", *The Structural Design of Tall and Special Buildings*, **17**(3), pp. 601-617 (2007).
11. Tavafoghi, A. and Eshghi, S. "Seismic behavior of tunnel form concrete building structures", *The 14th World Conference on Earthquake Engineering*, Beijing, China (12-17 Oct. 2008).
12. Eshghi, S. and Tavafoghi, A. "Experimental study of tunnel form buildings", *Amir Kabir Journal of Science and Technology*, **44**(1), pp. 31-42 (1391).
13. Tavafoghi, A. and Eshghi, S. "Evaluation of behavior factor of tunnel-form concrete building structures using applied technology Council 63", *The Structural Design of Tall and Special Buildings*, **22**(8), pp. 615-634 (2011).
14. Balkaya, C., Yuksel, S.B. and Derinoz, O. "Soil-structure interaction effects on the fundamental periods of the shear-wall dominant buildings", *The Structural Design of Tall and Special Buildings*, **21**(6), pp. 416-430 (2012).
15. Approved Technologies in Direction of Sub-Note 2-6, Paragraph "D", Note 6: A Step in Direction of Building Industrialization, 1st edition, Building and Housing Research Center Press, pp. 21-22 (in Persian) (2007).
16. Mohsenian, V. "R-Factor determination for tunnel-form buildings", M.S. Thesis, University of Science and Culture, Iran, Tehran (in Persian) (2013).
17. Permanent Committee for Revising the Standard 2800, *Iranian Code of Practice for Seismic Resistant Design of Buildings*, Building and Housing Research Center, Tehran, Iran (2005).
18. ACI Committee 318, *Building Code Requirements for Structural Concrete (ACI 318-08) and Commentary*, American Concrete Institute (2007).
19. Computers and Structures Inc. (CSI), *Structural and Earthquake Engineering Software (ETABS)*, Extended Three Dimensional Analysis of Building Systems Non-linear Version 9.5.0, Berkeley, CA, USA (2008).
20. Institute of National Building Regulations, *Design and Industrial Construction of Buildings, Topic 11*, Ministry of Roads & Urban Development, Iran (2013).
21. Paulay, T. and Binney, J.R. "Diagonally reinforced coupling beams of shear walls", *Shear in Reinforced Concrete, ACI Special Publications*, **42**, pp. 579-598 (1974).
22. Computers and Structures Inc. (CSI), *Structural and Earthquake Engineering Software, PERFORM-3D Non-linear Analysis and Performance Assessment for 3-D Structures*, Version 4.0.3, Berkeley, CA, USA (2007).
23. Technical Criteria Codification & Earthquake Risk Reduction Affairs Bureau, *Instruction for Seismic Rehabilitation of Existing Buildings, No. 360*, Management and Planning Organization, Iran (2007).

24. ASCE, *Seismic Rehabilitation of Existing Buildings*, ASCE/SEI41-06, American Society of Civil Engineers (2007).
25. Computers and Structures Inc. (CSI), *PERFORM-3D Nonlinear Analysis and Performance Assessment for 3-D Structures: User Guide*, Version 4, Berkeley, CA, USA (Aug. 2006).
26. Rostamkalaee, S. "Identifying the best configuration of centers of mass, rigidity and strength to improve the non-linear dynamic behavior of asymmetric plan steel moment frame buildings in different performance levels", M.S. Thesis, University of Science and Culture, Iran, Tehran (in Persian) (2013).
27. Berahman, F. and Behnamfar, F. "Seismic fragility curves for un-anchored on-grade steel storage tanks: Bayesian approach", *Journal of Earthquake Engineering*, **11**(2), pp. 166-192 (2007).
28. Cimellaro, G.P., Reinhorn, A.M. and Bruneau, M., *Multi-Dimensional Fragility of Structures: Formulation and Evaluation*, Multidisciplinary Center for Earthquake Engineering Research (MCEER) (2006).
29. Nielson, B.G. "Analytical fragility curves for highway bridges in moderate seismic zones", Ph.D. Thesis, School of Civil and Environmental Engineering, Georgia Institute of Technology (2005).
30. Kinali, K. "Seismic fragility assessment of steel frames in the central and eastern united states", Ph.D. Thesis, School of Civil and Environmental Engineering, Georgia Institute of Technology (2007).
31. Khalvati, A.H. and Hosseini, M. "A new methodology to evaluate the seismic risk of electrical power substations", *The 14th Word Conference on Earthquake Engineering (WCEE)*, Beijing, China (12-17 Oct. 2008).
32. Vamvatsikos, D. and Cornell, C.A. "Incremental dynamic analysis", *Earthquake Engineering & Structural Dynamics*, **31**(3), pp. 491-514 (2002).
33. Beheshti-Aval, S.B., *Seismic Rehabilitation of Existing Buildings*, K.N. Toosi University of Technology Press, Iran **I**, pp. 725-756 (2013).
34. PEER Ground Motion Database, Pacific Earthquake Engineering Research Center. Web Site: [http://peer.berkeley.edu/peer\\_ground\\_motion\\_database](http://peer.berkeley.edu/peer_ground_motion_database).
35. Annigeri, S. and Mittal, A.K. "Uncoupled frequency ratio in asymmetric buildings", *Earthquake Engineering & Structural Dynamics*, **25**(8), pp. 871-881 (1996).
36. Tso, W.K. and Wong, C.M. "Euro code 8 seismic torsional provision evaluation", *European Earthquake Engineering*, **IX**, **9**(1), pp. 23-33 (1995).